

电子科技大学

UNIVERSITY OF ELECTRONIC SCIENCE AND TECHNOLOGY OF CHINA

专业学位硕士学位论文

MASTER THESIS FOR PROFESSIONAL DEGREE



论文题目 基于图同构的初等数学推理引擎的设计与实现

专业学位类别

理学硕士

学 号

201852081006

作 者 姓 名

李菲

指 导 教 师

符红光 教授

分类号 _____ 密级 _____

UDC 注 1 _____

学 位 论 文

基于图同构的初等数学推理引擎的设计与实现

(题名和副题名)

李菲

(作者姓名)

指导教师

符红光 教授

电子科技大学 成都

(姓名、职称、单位名称)

申请学位级别 硕士 专业学位类别 理学硕士

提交论文日期 _____ 论文答辩日期 _____

学位授予单位和日期 电子科技大学 年 月

答辩委员会主席 _____

评阅人 _____

注 1: 注明《国际十进分类法 UDC》的类号。

A Research of Multi-function Switched-beam Antenna Array

A Master Thesis Submitted to
University of Electronic Science and Technology of China

Discipline:	Master of Pharmacy
Author:	Li Fei
Supervisor:	Prof. Li Si
School:	School of uestc

摘 要

近些年来，随着人工智能技术的飞速发展，许许多多专家学者开始将注意力集中在人工智能技术与教育的结合上。同时，很多的科研机构和公司也致力于将技术赋能于教育。利用人工智能技术定义全新的教育模式，实现计算机自动求解，自动辅导等功能，为学生提供快速，公平，系统并且量身定制的教育资源。这对提升教育质量，降低教育成本和创新教育模式有着十分重要的意义^[1]。本论文的研究内容是仅在输入原始初等数学题目基础上，对题目进行自动类人求解，简称“高考机器人”。它主要包含如下几点：

1) 复杂逻辑推理引擎与符号计算推理的研究和构建

主要研究复杂逻辑推理引擎与计算推理的组织结构与核心算法设计，针对出现问题给出相应的解决方案。从复杂逻辑推理引擎研究与构建，复杂逻辑与计算推理和类人求解三个方面进行。其中以推理引擎的设计和实现为重点，讲述了三种不同的复杂逻辑推理组织方式，并采用“正逆结合”推理方式构建推理引擎。随后研究了推理引擎与符号计算平台之间的联系，通过符号计算提供的计算服务为具体的问题的计算推理打下了支撑。类人求解中，在推理的基础上，设计基于 DFS 的搜索算法，重构类人求解过程。

2) 初等数学的知识表示

在自然语言处理（Nature Language Process,NLP）的支持下, 本文主要研究对初等数学中的知识表示问题。最终以三元组（实体-关系-实体）的形式表征文本的语义知识。

3) 初等数学问题的实例化规则

这些规则主要分成两大类。第一类：初等数学的定理和公理，以及公式。第二类：是常见的解题技巧，公式变形，以及解题策略。

关键词： 时域电磁散射，时域积分方程，时间步进算法，后时不稳定性，时域平面波算法

ABSTRACT

With the widespread engineering applications ranging from broadband signals and non-linear systems, time-domain integral equations (TDIE) methods for analyzing transient electromagnetic scattering problems are becoming widely used nowadays. TDIE-based marching-on-in-time (MOT) scheme and its fast algorithm are researched in this dissertation, including the numerical techniques of MOT scheme, late-time stability of MOT scheme, and two-level PWTD-enhanced MOT scheme. The contents are divided into four parts shown as follows.

Keywords: time-domain electromagnetic scattering, time-domain integral equation (TDIE), marching-on in-time (MOT) scheme, late-time instability, plane wave time-domain (PWTD) algorithm

目 录

第一章 绪 论	1
1.1 研究工作的背景与意义	1
1.2 时域积分方程方法的国内外研究历史与现状.....	1
1.3 本文的主要贡献与创新	1
1.4 本论文的结构安排	1
第二章 李菲时域积分方程基础	2
2.1 空间基函数与时间基函数	2
2.1.1 空间基函数	2
2.1.2 时间基函数	3
2.1.2.1 时域方法特有的展开函数	3
2.1.2.2 频域方法特有的展开函数	3
2.2 入射波	3
2.3 时域积分方程时间步进算法阻抗矩阵的存储	4
2.3.1 时域积分方程时间步进算法产生的阻抗矩阵的特征.....	4
2.3.2 数值算例与分析	4
2.4 时域积分方程时间步进算法矩阵方程的求解	5
2.5 本章小结	5
第三章 时域积分方程数值方法研究	6
3.1 时域积分方程时间步进算法的阻抗元素精确计算	6
3.1.1 时域积分方程时间步进算法产生的阻抗矩阵的特征.....	6
3.1.2 数值算例与分析	6
3.2 时域积分方程时间步进算法矩阵方程的求解	7
3.3 本章小结	7
第四章 时域积分方程数值方法研究	8
4.1 时域积分方程时间步进算法的阻抗元素精确计算	8
4.2 时域积分方程时间步进算法阻抗矩阵的存储	8
4.2.1 时域积分方程时间步进算法产生的阻抗矩阵的特征.....	8
4.2.2 数值算例与分析	8
4.3 时域积分方程时间步进算法矩阵方程的求解	9
4.4 本章小结	9

第五章 全文总结与展望.....	10
5.1 全文总结.....	10
5.2 后续工作展望.....	10
致 谢.....	11
参考文献.....	12
附录.....	13
攻读硕士学位期间取得的成果.....	14
外文资料原文.....	15
外文资料译文.....	16

第一章 绪 论

1.1 研究工作的背景与意义

计算电磁学方法^[1-6]从时、频域角度划分可以分为频域方法与时域方法两大类。频域方法的研究开展较早，目前应用广泛的包括：矩量法（MOM）^[7,8]及其快速算法多层快速多极子（MLFMA）^[9]方法、有限元（FEM）^[1,3]方法、自适应积分（AIM）^[5]方法等，这些方法是目前计算电磁学商用软件^①（例如：FEKO、Ansys 等）的核心算法。由文献^[6,7,9]可知

1.2 时域积分方程方法的国内外研究历史与现状

时域积分方程方法的研究始于上世纪 60 年代，C.L.Bennet 等学者针对导体目标的瞬态电磁散射问题提出了求解时域积分方程的时间步进（marching-on in-time, MOT）算法。

1.3 本文的主要贡献与创新

本论文以时域积分方程时间步进算法的数值实现技术、后时稳定性问题以及两层平面波加速算法为重点研究内容，主要创新点与贡献如下：

1.4 本论文的结构安排

本文的章节结构安排如下：

① 脚注序号“①，……，⑨”的字体是“正文”，不是“上标”，序号与脚注内容文字之间空 1 个半角字符，脚注的段落格式为：单倍行距，段前空 0 磅，段后空 0 磅，悬挂缩进 1.5 字符；中文用宋体，字号为小五号，英文和数字用 Times New Roman 字体，字号为 9 磅；中英文混排时，所有标点符号（例如逗号“，”、括号“（）”等）一律使用中文输入状态下的标点符号，但小数点采用英文状态下的样式“.”。

第二章 李菲时域积分方程基础

时域积分方程（TDIE）方法作为分析瞬态电磁波动现象最主要的数值算法之一，常用于求解均匀散射体和表面散射体的瞬态电磁散射问题。

2.1 空间基函数与时间基函数

利用数值算法求解时域积分方程，首先需要选取适当的空间基函数与时间基函数对待求感应电流进行离散。

2.1.1 空间基函数

RWG 基函数是定义在三角形单元上的最具代表性的基函数。它的具体定义如下：

$$f_n(r) = \begin{cases} \frac{l_n}{2A_n^+} \rho_n^+ = \frac{l_n}{2A_n^+} (r - r_+) & r \in T_n^+ \\ \frac{l_n}{2A_n^-} \rho_n^- = \frac{l_n}{2A_n^-} (r_- - r) & r \in T_n^- \\ 0 & \text{otherwise} \end{cases} \quad (2-1)$$

其中， l_n 为三角形单元 T_n^+ 和 T_n^- 公共边的长度， A_n^+ 和 A_n^- 分别为三角形单元 T_n^+ 和 T_n^- 的面积（如图2-1所示）。

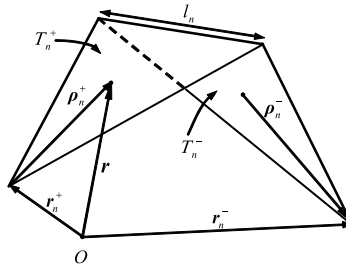


图 2-1 RWG 基函数几何参数示意图

由于时域混合场积分方程是时域电场积分方程与时域磁场积分方程的线性组合，因此时域混合场积分方程时间步进算法的阻抗矩阵特征与时域电场积分方程

时间步进算法的阻抗矩阵特征相同。

$$\mathbf{r}_{i,j} = \begin{cases} 1, f(\mathbf{x}^i; \mathbf{w}) \cdot f(\mathbf{x}^j; \mathbf{w}) \geq u(\lambda), \\ 0, f(\mathbf{x}^i; \mathbf{w}) \cdot f(\mathbf{x}^j; \mathbf{w}) < l(\lambda), 1 \leq i, j \leq n. \\ f(\mathbf{x}^i; \mathbf{w}) \cdot f(\mathbf{x}^j; \mathbf{w}), \text{ otherwise,} \end{cases} \quad (2-2)$$

时域积分方程时间步进算法的阻抗元素直接影响算法的后时稳定性，因此阻抗元素的计算是算法的关键之一，采用精度高效的方法计算时域阻抗元素是时域积分方程时间步进算法研究的重点之一。

2.1.2 时间基函数

2.1.2.1 时域方法特有的展开函数

2.1.2.2 频域方法特有的展开函数

2.2 入射波

如图2-2(a)和图2-2(b)所示分别给出了参数 $E_0 = \hat{x}$, $a_n = -\hat{z}$, $f_0 = 250\text{MHz}$, $f_w = 50\text{MHz}$, $t_w = 4.2\sigma$ 时，调制高斯脉冲的时域与频域归一化波形图。

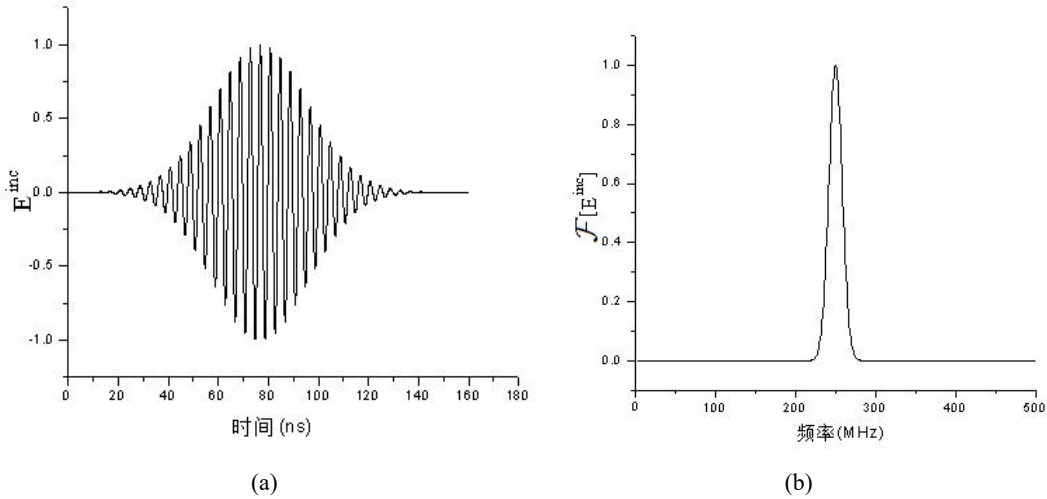


图 2-2 调制高斯脉冲时域与频率波形，时域阻抗元素的存储技术也是时间步进算法并行化的关键技术之一，采用合适的阻抗元素存储方式可以很大的提高并行时间步进算法的计算效率。

时域阻抗元素的存储技术^[7]也是时间步进算法并行化的关键技术之一，采用合适的阻抗元素存储方式可以很大的提高并行时间步进算法的计算效率。

时域积分方程时间步进算法的阻抗元素直接影响算法的后时稳定性，因此阻

抗元素的计算是算法的关键之一，采用精度高效的方法计算时域阻抗元素是时域积分方程时间步进算法研究的重点之一。

2.3 时域积分方程时间步进算法阻抗矩阵的存储

时域阻抗元素的存储技术也是时间步进算法并行化的关键技术之一，采用合适的阻抗元素存储方式可以很大的提高并行时间步进算法的计算效率。

2.3.1 时域积分方程时间步进算法产生的阻抗矩阵的特征

由于时域混合场积分方程是时域电场积分方程与时域磁场积分方程的线性组合，因此时域混合场积分方程时间步进算法的阻抗矩阵特征与时域电场积分方程时间步进算法的阻抗矩阵特征相同。

2.3.2 数值算例与分析

如图 3-1(a) 所示给出了时间步长选取为 0.5ns 时采用三种不同存储方式计算的平板中心处方向的感应电流值与 IDFT 方法计算结果的比较。如图 3-1(b) 所示给出了存储方式为基权函数压缩存储方式，时间步长分别取时平板中心处方向的感应电流计算结果，从图中可以看出不同时间步长的计算结果基本相同。

Data: this text

Result: how to write algorithm with L^AT_EX2_ε

initialization;

while *not at end of this document* **do**

 read current;

if *understand* **then**

 go to next section;

 current section becomes this one;

else

 go back to the beginning of current section;

end

end

算法 2-1 How to wirte an algorithm.

由于时域混合场积分方程是时域电场积分方程与时域磁场积分方程的线性组合，因此时域混合场积分方程时间步进算法的阻抗矩阵特征与时域电场积分方程

时间步进算法的阻抗矩阵特征相同。

2.4 时域积分方程时间步进算法矩阵方程的求解

2.5 本章小结

本章首先研究了时域积分方程时间步进算法的阻抗元素精确计算技术，分别采用 DUFFY 变换法与卷积积分精度算法计算时域阻抗元素，通过算例验证了计算方法的高精度。

第三章 时域积分方程数值方法研究

3.1 时域积分方程时间步进算法的阻抗元素精确计算

时域积分方程时间步进算法的阻抗元素直接影响算法的后时稳定性，因此阻抗元素的计算是算法的关键之一，采用精度高效的方法计算时域阻抗元素是时域积分方程时间步进算法研究的重点之一。

3.1.1 时域积分方程时间步进算法产生的阻抗矩阵的特征

由于时域混合场积分方程是时域电场积分方程与时域磁场积分方程的线性组合，因此时域混合场积分方程时间步进算法的阻抗矩阵特征与时域电场积分方程时间步进算法的阻抗矩阵特征相同。

3.1.2 数值算例与分析

如图 3-1(a) 所示给出了时间步长选取为 0.5ns 时采用三种不同存储方式计算的平板中心处方向的感应电流值与 IDFT 方法计算结果的比较。如图 3-1(b) 所示给出了存储方式为基权函数压缩存储方式，时间步长分别取时平板中心处方向的感应电流计算结果，从图中可以看出不同时间步长的计算结果基本相同。

Data: this text

Result: how to write algorithm with L^AT_EX2_ε

initialization;

while *not at end of this document* **do**

 read current;

if *understand* **then**

 go to next section;

 current section becomes this one;

else

 go back to the beginning of current section;

end

end

算法 3-1 How to wirte an algorithm.

由于时域混合场积分方程是时域电场积分方程与时域磁场积分方程的线性组

合，因此时域混合场积分方程时间步进算法的阻抗矩阵特征与时域电场积分方程时间步进算法的阻抗矩阵特征相同。

3.2 时域积分方程时间步进算法矩阵方程的求解

3.3 本章小结

本章首先研究了时域积分方程时间步进算法的阻抗元素精确计算技术，分别采用 DUFFY 变换法与卷积积分精度计算法计算时域阻抗元素，通过算例验证了计算方法的高精度。

第四章 时域积分方程数值方法研究

4.1 时域积分方程时间步进算法的阻抗元素精确计算

时域积分方程时间步进算法的阻抗元素直接影响算法的后时稳定性，因此阻抗元素的计算是算法的关键之一，采用精度高效的方法计算时域阻抗元素是时域积分方程时间步进算法研究的重点之一。

4.2 时域积分方程时间步进算法阻抗矩阵的存储

时域阻抗元素的存储技术也是时间步进算法并行化的关键技术之一，采用合适的阻抗元素存储方式可以很大的提高并行时间步进算法的计算效率。

4.2.1 时域积分方程时间步进算法产生的阻抗矩阵的特征

由于时域混合场积分方程是时域电场积分方程与时域磁场积分方程的线性组合，因此时域混合场积分方程时间步进算法的阻抗矩阵特征与时域电场积分方程时间步进算法的阻抗矩阵特征相同。

4.2.2 数值算例与分析

如表4-1所示给出了时间步长分别取 0.4ns、0.5ns、0.6ns 时的三种存储方式的存储量大小。

表 4-1 计算 $2m \times 2m$ 理想导体平板时域感应电流采用的三种存储方式的存储量比较。

时间步长	非压缩存储方式	完全压缩存储方式	基权函数压缩存储方式
0.4ns	5.59 MB	6.78 MB	6.78 MB
0.5ns	10.17 MB	5.58 MB	5.58 MB
0.6ns	8.38MB	4.98 MB	4.98 MB

如图4-1(a)所示给出了时间步长选取为 0.5ns 时采用三种不同存储方式计算的平板中心处 x 方向的感应电流值与 IDFT 方法计算结果的比较，……。如图4-1(b)所示给出了存储方式为基权函数压缩存储方式，时间步长分别取 0.4ns、0.5ns、0.6ns 时平板中心处 x 方向的感应电流计算结果，从图中可以看出不同时间步长的计算结果基本相同。

由于时域混合场积分方程是时域电场积分方程与时域磁场积分方程的线性组合，因此时域混合场积分方程时间步进算法的阻抗矩阵特征与时域电场积分方程

时间步进算法的阻抗矩阵特征相同。

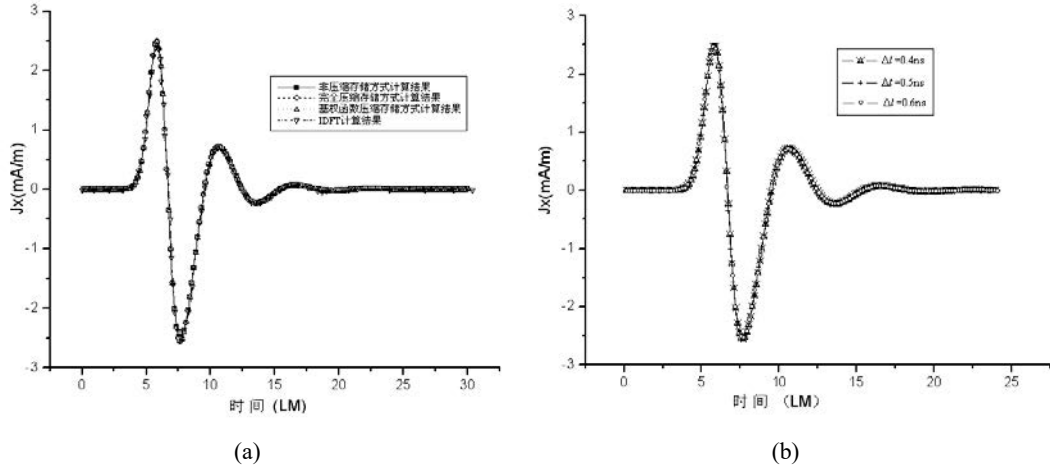


图 4-1 $2m \times 2m$ 的理想导体平板中心处感应电流 x 分量随时间的变化关系

由于时域混合场积分方程是时域电场积分方程与时域磁场积分方程的线性组合，因此时域混合场积分方程时间步进算法的阻抗矩阵特征与时域电场积分方程时间步进算法的阻抗矩阵特征相同。

4.3 时域积分方程时间步进算法矩阵方程的求解

定理 4.1 如果时域混合场积分方程是时域电场积分方程与时域磁场积分方程的线性组合。

证明: 由于时域混合场积分方程是时域电场积分方程与时域磁场积分方程的线性组合，因此时域混合场积分方程时间步进算法的阻抗矩阵特征与时域电场积分方程时间步进算法的阻抗矩阵特征相同。 ■

推论 4.2 时域积分方程方法的研究近几年发展迅速，在本文研究工作的基础上，仍有以下方向值得进一步研究。

引理 4.3 因此时域混合场积分方程时间步进算法的阻抗矩阵特征与时域电场积分方程时间步进算法的阻抗矩阵特征相同。

4.4 本章小结

本章首先研究了时域积分方程时间步进算法的阻抗元素精确计算技术，分别采用 DUFFY 变换法与卷积积分精度计算法计算时域阻抗元素，通过算例验证了计算方法的高精度。

第五章 全文总结与展望

5.1 全文总结

本文以时域积分方程方法为研究背景，主要对求解时域积分方程的时间步进算法以及两层平面波快速算法进行了研究。

5.2 后续工作展望

时域积分方程方法的研究近几年发展迅速，在本文研究工作的基础上，仍有以下方向值得进一步研究：

致 谢

在攻读博士学位期间，首先衷心感谢我的导师 XXX 教授

参考文献

- [1] 王浩刚, 聂在平. 三维矢量散射积分方程中奇异性分析 [J]. 电子学报, 1999, 27(12): 68-71
- [2] X. F. Liu, B. Z. Wang, W. Shao, et al. A marching-on-in-order scheme for exact attenuation constant extraction of lossy transmission lines[C]. China-Japan Joint Microwave Conference Proceedings, Chengdu, 2006, 527-529
- [3] 竺可桢. 物理学 [M]. 北京: 科学出版社, 1973, 56-60
- [4] 陈念永. 毫米波细胞生物效应及抗肿瘤研究 [D]. 成都: 电子科技大学, 2001, 50-60
- [5] 顾春. 牢牢把握稳中求进的总基调 [N]. 人民日报, 2012 年 3 月 31 日
- [6] 冯西桥. 核反应堆压力容器的 LBB 分析 [R]. 北京: 清华大学核能技术设计研究院, 1997 年 6 月 25 日
- [7] 肖珍新. 一种新型排渣阀调节降温装置 [P]. 中国, 实用新型专利, ZL201120085830.0, 2012 年 4 月 25 日
- [8] 中华人民共和国国家技术监督局. GB3100-3102. 中华人民共和国国家标准—量与单位 [S]. 北京: 中国标准出版社, 1994 年 11 月 1 日
- [9] M. Clerc. Discrete particle swarm optimization: a fuzzy combinatorial box[EB/OL]. http://clerc.maurice.free.fr/ps0/Fuzzy_Discrere_PSO/Fuzzy_DPSO.htm, July 16, 2010

附 录

攻读硕士学位期间取得的成果

- [1] J. Y. Li, Y. W. Zhao, Z. P. Nie. New memory method of impedance elements for marching-on-in-time solution of time-domain integral equation[J]. Electromagnetics, 2010, 30(5): 448-462
- [2] 张三, 李四. 时间步进算法中阻抗矩阵的高效存储新方法 [J]. 电波科学学报, 2010, 25(4): 624-631
- [3] 张三, 李四. 时域磁场积分方程时间步进算法稳定性研究 [J]. 物理学报, 2013, 62(9): 090206-1-090206-6
- [4] 张三, 李四. 时域磁场积分方程时间步进算法后时稳定性研究. 电子科技大学学报 [J] (已录用, 待刊)
- [5] S. Zhang. Parameters discussion in two-level plane wave time-domain algorithm[C]. 2012 IEEE International Workshop on Electromagnetics, Chengdu, 2012, 38-39
- [6] 张三, 李四. 时域积分方程时间步进算法研究 [C]. 电子科技大学电子科学技术研究院第四届学术交流会, 成都, 2008, 164-168
- [7] 张三 (4). 人工介质雷达罩技术研究. 国防科技进步二等奖, 2008 年
- [8] XXX, XXX, XXX, XXX, 王升. XXX 的陶瓷研究. 四川省科技进步三等奖, 2003 年 12 月
- [9] 郝吉庆. Pbl 教学法在临床医学教学中的应用与探讨 [J]. 安徽医药, 2011, 15(1): 129-131

外文资料原文

5.1 A Tight Upper Bound on Bit Error Rate

外文资料译文

5.1 基于多载波索引键控的正交频分多路复用系统模型